

I-A 319 斜角38度を有する二径間連続SRC桁の製作・架設管理（北陸新幹線 眼鏡橋架道橋）

日本車両製造 正会員 村瀬孝典
 日本鉄道建設公団 正会員 保坂鐵矢 竹下安司
 日本車両製造 安田稔彦 常川勝一

1. まえがき

長野五輪を二年後に控え、高崎～長野間の北陸新幹線の建設工事が急ピッチで進められている。眼鏡橋は長野S-tと車両基地の中間部に位置し、県道（北長野仲俣線）・鉄道（長野電鉄長野線）及び河川（浅川）と38度で交差し、かつ、鉄道（JR信越線）と隣接する高架橋である。

このような諸条件により、本橋は中間支点に38度の斜角を有する「2径間連続SRC桁」を採用した。架設は大ブロック架設となり、750tクロークレーンを使用した。

本報告は斜角の極めて大きいSRC桁（型枠を兼ねた主桁部にコンクリートを充填する構造）の設計・製作・架設の施工概要について記述する。

2. 設計

本橋は（図-1）に示すように、三箱並列ホロー形式SRC構造である。

また、鉄道及び県道直上橋梁であるため下フランジ相互を連結し、型枠を兼ねた構造とした。

当初、全死荷重載荷後にG1～G3が水平となり下フランジ相互を連結する構造であったが、主桁部にコンクリートを充填する前に下フランジを連結しなければならぬため鋼桁架設完了後に連結することとした。つまり、鋼桁自重分のキャンバーが下がった段階で各主桁の横断形状が同一形状でかつ、縦継手位置が同一高さとなるよう設計した。主桁断面形状の変化の状態を（図-2）に示す。

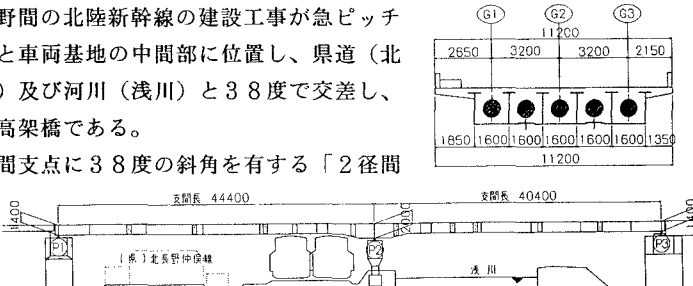
その際、コンクリート打設以降による桁の変形に伴う付加応力に対して、主桁の安全性を照査確認した。

3. 工場製作

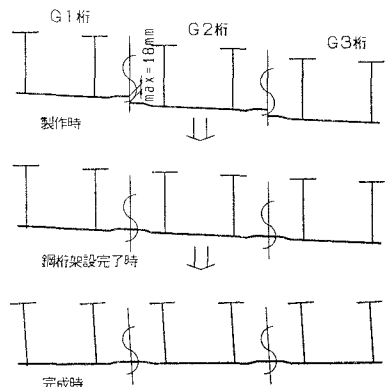
本橋は中間支点上付近の桁高が高く斜角方向にハンチ形状となり、各主桁間の面要素としての連結部は各桁の施工上生じる可能性のあるキャンバー誤差を吸収するためして視覚上からナックルを設けた。このため、工場製作は3次元的な精度管理が不可欠となった。

また、通常鋼桁の仮組立は無応力状態（多点支持）で行うが、今回は大ブロック架設を再現できるよう支点支持仮組立も併用した。仮組立の結果、設計値との誤差は-2mm～+4mmに納まり大ブロック架設に支障を与えないことを確認することができた。このような諸条件により原寸作業・製作及び仮組立のキャンバー精度管理にかなりの工数を費やすこととなった。

4. 架設



（図-1）一般形状図



（図-2）断面形状の変化

本橋の架設ステップを（表-1）に示す。各ステップにおいて多量のコンクリートを打設するため、フレッシュコンクリートの経時による固結度を考えた各ステップにおけるコンクリートの打設順序の検討が必要とされた。キャンバー管理については、（表-1）に示すステップⅡにおける打設順序を（図-3）に、G3桁でのキャンバーとコンクリート評価との関係を（表-2）に示すとともに考察を加える。各主桁のキャンバー比較図を（図-4）に示す。

(1) ステップ②完了後のG3桁の実測キャンバー値と設計値を比較した結果、-17mm～21mmの誤差を生じた。（表-2）

(2) G1のP1～P2間及びG3のP2～P3間では実測値が下まわり、G1のP2～P3間及びG3のP1～P2間では逆に上回っている。（図-4）

このような現象を起こした要因として、打設順序①～②に移行する際に4時間程度かかり、打設完了した①のコンクリートがある程度硬化し、鋼との合成作用が生じ構造物全体の剛性が上がったためと考えられる。そこで、鋼とコンクリートのヤング係数比nを1.4, 2.1の2種で断面剛性を算出し、実測結果と比較した。（表-2）に示すように製作及び架設の精度等（約±5mm）を考慮した実測値（表中の(0)値）との比較においてコンクリートを評価（n=2.1、表中の(1)値）した値と類似している。

これらのことから、最初に打設した区間（①）では設計値以上にたわみ、継続してコンクリート打設した区間（②）はコンクリートによる①の区間の剛性が増しキャンバーの復元が生じず設計値より小さいたわみとなつたと思われる。この現象は、打設順序を考慮する必要がある一般的な連続桁でも生じるが、本橋は斜角38度という特殊な構造でかつ閉塞した区間でのコンクリートボリュームが多量であるため、フレッシュコンクリートの粘性が鋼桁のキャンバーに影響したと思われる。

5.まとめ

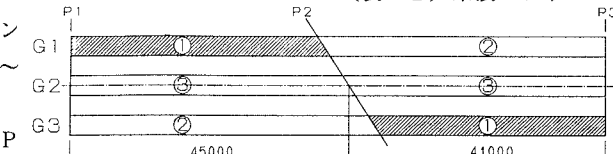
本橋のような特殊な構造形式では、遅延剤を用いてコンクリートの凝固を最大限遅らせる処置を施したもののが予測したようにキャンバー精度に影響を与えた。今後の対策として、セメントメーカーによる超遅延効果剤の開発及び、フレッシュコンクリートの硬化評価（コンクリート打設経過時間における硬化率）を考慮した設計及び施工を行うべきと思われる。

また、今回生じたキャンバー精度が本橋に取り入れた下フランジのナックル形状で視覚上、目立たぬようになったことは、製作上困難であったが評価できるものと思われる。

近い将来、合成構造からなる高架橋建設が増大することは確実であり、本橋のような斜角の大きい桁・連続合成桁等はコンクリートの評価を適切に設計思想に反映させる必要がある。その際、本報告が役立てば幸いである。

| |
|---|
| I 鋼桁のモーメント連結法による大ブロック架設 (750tクローラークレーンによる) |
| ↓ |
| II 主桁内コンクリートの打設（約500立米） |
| ↓ |
| III 主桁間コンクリートの打設（約350立米） |
| ↓ |
| IV スラブコンクリートの打設（約300立米） |
| ↓ |
| V 路盤・突起コンクリートの打設 |

(表-1) 架設ステップ



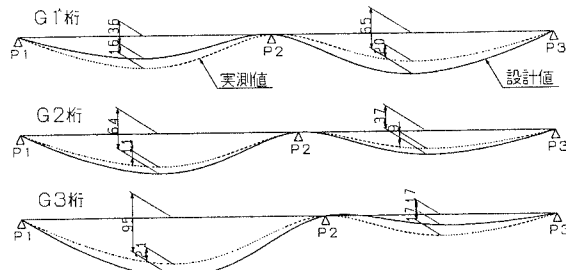
(図-3) 打設順序

| 格点名 | コンクリート打設順序②のG3桁 | | (単位:mm) |
|-----|-----------------|-----------|-----------------------|
| | コンクリートを無評価(n=0) | コンクリートを評価 | |
| C1 | 0 (0) | 0 (0) | n=14 [0] 0 [0] |
| C2 | 33 (43) | 11 (10) | 38 [5] 36 [3] |
| C3 | 78 (94) | 18 (14) | 90 [12] 87 [9] |
| C4 | 95 (111) | 19 (16) | 113 [18] 108 [13] |
| C5 | 82 (98) | 21 (16) | 102 [20] 96 [14] |
| C6 | 47 (54) | 14 (7) | 64 [17] 59 [12] |
| C7 | 21 (25) | 7 (4) | 32 [11] 29 [8] |
| C8 | 0 (0) | 0 (0) | 0 [0] 0 [0] |
| C9 | -8 (-19) | -11 (-8) | -20 (-12) -17 (-9) |
| C11 | -6 (-21) | -15 (-9) | -25 (-19) -20 (-14) |
| C12 | 8 (-9) | -17 (-15) | -13 (-21) -7 (-15) |
| C13 | 17 (6) | -11 (-10) | 2 [-15] 6 [-11] |
| C14 | 10 (5) | -5 (-5) | 4 [-6] 6 [-4] |
| C15 | 0 (0) | 0 (0) | 0 [0] 0 [0] |

() 内は、製作・架設誤差を差し引いた値を表す。

[] 内は、コンクリート評価時の設計値からの増減値を表す。

(表-2) コンクリートの評価の有無によるキャンバー値の比較



(図-4) キャンバー比較図